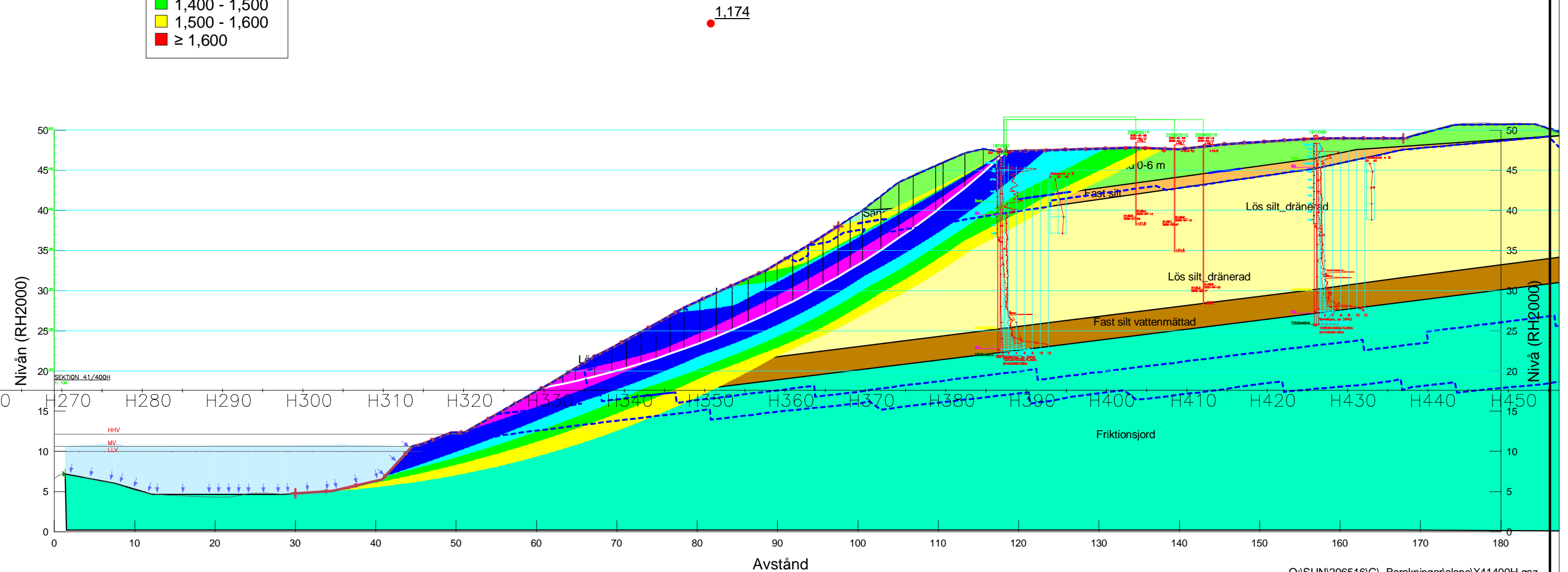


Stabilitetsanalys SLOPE/W. Tool Version: 10.2.0.19460
 Uppdrag: Skredriskkartering stabilitetsutredning, etapp 1
 Sektions ID: 41/400H
 Analys: Dränerad
 Typ av glidyta: Entry exit
 Beräkningsmetod: Morgenstern-Price
 PWP Conditions Source: Spatial Function
 Datum: 2020-11-02
 Ansvarig/företag: PO Sjödin, Tyréns
 Last Edited By: Sjödin, Per Olof
 Skala: 1:500



Color	Name	Model	Unit Weight (kN/m³)	Cohesion' (kPa)	Phi' (°)	Phi-B (°)
Orange	Fast silt	Mohr-Coulomb	18	0	37	37
Brown	Fast silt vattenmättad	Mohr-Coulomb	19	0	37	37
Cyan	Friktionsjord	Mohr-Coulomb	22	0	42	0
Yellow	Lös silt dränerad	Mohr-Coulomb	19	5,5	36,5	0
Light Green	Sand >6m djup	Mohr-Coulomb	17	0	34,4	0
Green	Sand 0-6 m	Mohr-Coulomb	17	0	36	0

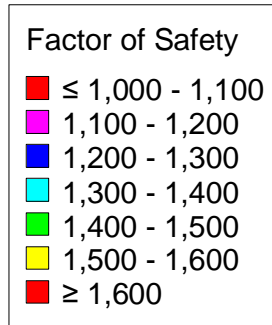
Factor of Safety	
Red	≤ 1,000 - 1,100
Pink	1,100 - 1,200
Blue	1,200 - 1,300
Cyan	1,300 - 1,400
Green	1,400 - 1,500
Yellow	1,500 - 1,600
Dark Red	≥ 1,600



Stabilitetsanalys SLOPE/W. Tool Version: 10.2.0.19460
 Uppdrag: Skredriskkartering stabilitetsutredning, etapp 1
 Sektions ID: 41/400H
 Analys: Komb
 Typ av glidyta: Entry exit
 Beräkningsmetod: Morgenstern-Price
 PWP Conditions Source: Spatial Function
 Datum: 2020-11-02
 Ansvarig/företag: PO Sjödin, Tyréns
 Last Edited By: Sjödin, Per Olof
 Skala: 1:500



Color	Name	Model	Unit Weight (kN/m³)	Phi' (°)	C-Datum (kPa)	C-Top of Layer (kPa)	C-Rate of Change ((kN/m²)/m)	Cu-Datum (kPa)	Cu-Top of Layer (kPa)	Cu-Rate of Change ((kN/m²)/m)	Datum (Elevation) (m)	Phi-B (°)
Orange	Fast silt	Mohr-Coulomb	18	37								37
Brown	Fast silt vattenmättad	Mohr-Coulomb	19	37								37
Cyan	Friktionsjord	Mohr-Coulomb	22	42								0
Yellow	Lös silt_komb 15-25m	Combined, S=f(depth)	19	36,5		5,5	0		80	2,25		
Light Green	Lös silt_komb 15-25m slänt	Combined, S=f(datum)	19	36,5	5,5		0	80		2,25	25,9	
Light Yellow	Lös silt_komb 5-15m	Combined, S=f(depth)	19	36,5		5,5	0		56,2	3,4		
Yellow-Orange	Lös silt_komb 5-15m slänt	Combined, S=f(datum)	19	36,5	5,5		0	56,2		3,4	34,8	
Light Green	Sand >6m djup	Mohr-Coulomb	17	34,4								0
Light Green	Sand 0-6 m	Mohr-Coulomb	17	36								0



1,172

